

오스템퍼처리 구상 흑연 주철의 드릴 가공 특성에 관한 연구

김 용 기* 조 규 재 전 언 찬
(조선대 기계공학과 대학원) (조선대 기계공학과) (동아대 기계공학과)

1. 서론

소경드릴 가공은 최근 가공 제품의 소형화, 경량화 등의 추세로 인하여 수요가 급증됨에 따라 레이저 가공, 전자빔 가공, 전해가공과 같은 전기 물리적 가공법 등이 많이 사용되고 있으나, 생산성 및 정밀도의 면에서 만족스러운 결과를 얻을 수 없는 실정이다.¹⁾

이에 반해 기계 가공법인 소경드릴 가공은 공구의 강성 저하로 인하여 쉽게 파손이 되고 침 배출의 어려운 점은 있지만, 가공 정밀도가 양호하고 종횡비(Aspect ratio)가 높은 가공이 가능하여 실용화가 좋은 분야라고 할 수 있다. 이로 인해 이에 대한 연구가 많이 진행되고 있다.^{2),3)} D.F.Galloway⁴⁾는 강재의 드릴 절삭저항의 이론적 고찰 및 드릴 수명, 가공정도에 대하여 논하였고, 岩田・坂口⁵⁾ 등은 미소드릴 가공의 연구에서 단계 이송에 의한 절삭력과 가공정도에 관한 기초적 연구를 행하고 있으나, 소경드릴 가공시 많은 문제점이 있다고 보고되고 있으며,³⁾ 앞으로 연구가 필요하다고 생각된다.

최근 유용한 신소재로 많은 관심을 보이고 있는 오스템퍼 처리 구상흑연 주철(Austempered Ductile Cast Iron) 이하 ADI(라 한다)은 기지조직이 베이나이트와 잔류 오스테나이트로 구성되어 있기 때문에 같은 화학 조성을 갖는 일반 구상흑연 주철에 비하여 연성 및 인성의 감소가 없이 2배 정도의 강도를 증가 시킬 수 있기 때문에 자동차, 선박 부품 및 여러 종류의 기계 구조용품에 적용시키기 위하여 많은 연구가 진행되고 있다.⁶⁾ 그러나, ADI재료는 좋은 경도와 잔류 오스테나이트의 마르텐사이트 화에 기인하는 가공 변질층에 의하여 절삭성이 나쁘기 때문에⁷⁾ 단조강 등의 타 재료로 대체 가능성이 높음에도 불구하고 그 적용 정도가 아직까지는 미흡한 실정이며 北川・小川^{8,9,10)} 등에 의하여 ADI재의 흑연 입자수의 영향에 따른 절삭성에 대한 연구가 진행되고 있으나 현재까지 국제외의 연구는 미흡한 실정이다.

따라서 본 연구에서는 서로 종류가 다른 고속도강 드릴인 소경드릴을 이용하여 ADI재료를 절삭가공 할 때 비관통 및 단계절삭 가공시에 발생하는 절삭력의 변화에 따른 공구의 마모, 가공정도 및 가공조건 등을 실험적으로 고찰하여 소경드릴 가공시 발생하는 제반문제점을 해결하고 공구의 마모 및 가공정도가 양호한 최적의 절삭조건을 얻고자 한다.

2. 실험장치 및 방법

2.1. 실험방법

본 실험을 위한 절삭은 수직형 마시닝 센터 (화천기계 VERTMAC-650)를 이용하여 실험을 수행하였다. 절삭 작업시 비관통 절삭과 단계절삭의 추력과 토크 절삭력은 압전형 공구동력계(Kistler, 927A)를 사용하여 측정하였다. 이때 공구 동력계로 부터의 미세한 전압을 안정적으로 증폭하기 위하여 차지 앤프리 파이어(Kistler, 5011)를 사용하였다. 그리고 데이터를 개인용 컴퓨터에

서 해석하기 위하여 증폭된 아나로그 신호를 아나로그-디지털 변환기(DAS-16)를 이용하여 디지털화 하였다.

컴퓨터에 전송된 신호는 절삭력 소프트웨어를 이용하여 분석하였다. Fig.1은 실험장치의 개략도를 나타낸다.

시험면의 기지조직 및 표면 형상 측정을 하기 위하여 공구현미경(Mitutoyo TM101) 전자 주사 현미경(JEOL, JSM-840A)으로 관찰하였다. 그리고 기지조직 내 베이나이트의 체적분율은 포인트 카운팅법으로 하였으며, 잔류 오스테나이트의 체적 분율을 구하기 위하여 X-선 회절기(Rigaku geigerflex D/max-B)로 측정하였고, 마르텐사이트의 체적 분율은 전체적 분율에서 베이나이트와 잔류 오스테나이트의 체적분율의 차로서 구하였다.

피삭제는 공구동력계의 척에 고정 시켰을 때 편심을 제거하기 위하여 60×30mm로 외피가공 및 양단면 가공을 하여, 12개의 구멍을 뚫었으며 구멍과 구멍사이 최소 거리로 먼저 뚫은 구멍의 영향을 받지 않도록 5mm 이상 되도록 하였다. Fig.2는 피삭제의 형상이다. 구멍깊이를 15mm로 일정하게 비관통 절삭가공과 5mm씩을 한 구간으로 하여 3단계 이송가공을 하였다.

실험에 사용된 드릴은 GÜHRING사의 고속도강과 코발트 고속도강 및 티타늄을 코팅한 고속도강의 3종류이며 형상은 ø6×70×102mm로 선단각 130° 여유각 11° 비틀림각 38°이다. 절삭 실험조건은 Table 3과 같다.

드릴을 콜레트 허더에 체결시킬 때 체결력은 드릴이 정확하게 이송이 되도록 충분히 체결하였다. 구멍 가공을 2~5개 한 후 절삭력 변화에 따른 드릴 마모량을 측정하기 위해 공구현미경(Mitutoyo, TM101)을 이용하여 드릴의 마모량을 측정하였다. 토크의 보정은 인디케이트 플랫트형 토오크렌치(Kanon, 450K)를 사용하였고, 트러스트 보정은 로드셀과 동스트레인 게이지를 사용하였다.

2.2. 시험면 제작 및 열처리

시험면은 일반 구상흑연 주철 용당에 Fe-99.9% Ni, Fe-60% Mo, 및 99% Cu를 첨가하여 용해 한 후 충분한 암탕력이 있는 생사형주형에 주입하여 환봉 시료를 제작한다. 구상흑연 주철의 오스템퍼링 처리에 있어 오스테나이트화 하기 위한 가열온도 범위로 일반적으로 850~950°C가 적당하다고^{11,12)} 알려져 있다. 본 연구에서는 오스테나이트중의 탄소량이 균일하게 될때까지 장시간을 요하는 낮은 오스테나이트화 온도와 오스테나이트 결정립이 조대화 하게 되어 기계적 성질을 저하시키는 높은 오스테나이트화 온도를 피하여 오스템퍼 처리는 900°C로 유지된 염욕으로서 1시간동안 오스테나이트화 한후 오스템퍼드 온도 290~450°C의 변화에 따라 기지조직은 미세한 침상의 하부 베이나이트가 조대한 침상 및 판상의 상부베이나이트로 성장하는 천이온도 부근인 375°C에서 2시간동안 항은 열처리 하였다.^{11,12)}

피삭제의 화학적 성분은 Table1과 같고, Table2는 기계적 성질과 체적분율을 나타냈다.

Fig.3은 GCD600제와 ADI재의 조직 사진이다.

3. 실험 결과 및 고찰.

1. 공구마모에서 본 드릴 재질의 비교.

Fig.4는 ADI재를 보통 고속도강을 이용하여 $V=10.3\text{m/min}$, $f=0.05\text{mm/rev}$ (고속, 저이송) 및 $V=6.1\text{m/min}$, $f=0.15\text{mm/rev}$ (저속, 고이송)의 가공조건으로, 30개 구멍을 뚫을 경우의 공구마모량과 칩 이면의 형태이다.

고속, 저이송의 가공 경우, 칩 이면의 흑연이 거의 탈락되고, 공구표면상에 웅착물이 많이 보이고, 인선의 마모가 격심하다. 이에 반해 저속, 고이송의 가공의 경우는 칩 이면에 더 많은 흑연의 존재를 확인 할 수 있고, 또 공구표면도 깨끗하게 보존되어 있다. 또 고속, 저이송 조건으로 가공한 경우는 분상의 흑연이 칩과 함께 많이 배출되고, 저속, 고이송의 경우는 분상의 흑연 배출이 적다. 여기에서, 고속가공에서는 흑연이 기지에서 탈락하고, 분상으로 되기 쉬운것에 대하여서 저속, 고속이송의 경우에서는 흑연이 기지에 전류하고 웅착현상이 억제되고, 피삭제와 공구의 계면에서 윤활의 작용을 발휘하고, 공구마모가 줄어든다고 생각된다.

또 Fig.5, 6은 상이한 이송속도와 절삭속도에서 ADI재의 구멍뚫기 가공을 할 경우의 공구마모 진행선도이다. Fig.5에서 이송 속도의 증가에 따라서 마모량이 거의 비례적으로 증대하는 것을 알 수 있다. 그러나 $f=0.15\text{mm/rev}$ 에서는 20개 째의 구멍 가공에서부터 가공이 불가능한 상태로 진행되었다. 한편, 절삭속도의 경우 Fig.6에 나타난 바와 같이 어느 일정 절삭속도 이상으로 되면 마모가 급격히 증대하는 것을 알 수 있다. 고속도강 공구는 내열성이 나쁘기 때문에, 고강도의 ADI재의 절삭에도 부적당하다는 것을 알 수 있다. 그러나, 공구가 비교적으로 싸기 때문에 절삭속도와 이송속도를 적합하게 조합시키면 공구마모가 줄어드는 것이 가능하고, 대량으로 사용되는 현장에서는 생산원가의 절감으로 이어진다고 고려된다. 이 경우 단위시간당의 절삭량은 저속, 고이송의 조합이 고속, 저이송의 조합보다 1.6배 정도가 크다.

이로부터, 통상 고속도강 드릴로서 ADI재를 구멍 가공할 경우, 절삭량의 관점에서 보면, 절삭속도의 증가 보다도, 이송을 높이는 편이 유리하다는 것을 알 수 있다.

2. ADI재와 GCD600재에서의 공구마모와 표면거칠기 비교

Fig.7은 코발트 함유 고속도강을 이용한 절삭속도 6.1m/min , 이송속도 $0.05\sim0.15\text{mm/rev}$ 로서 구멍 가공을 할 경우의 공구마모 진행선도의 비교이다. 그림에서 $f=0.15\text{mm/rev}$ 을 세워하고, 어느 경우도 ADI재를 구멍가공한 공구마모량은 GCD600재에 비하여 약 2배 정도로 되고 있다. 또, Fig.8에 나타낸 바와 같이 ADI재의 토오크, 트러스트량은 GCD600재의 것 보다 크다. GCD600재를 가공한 공구마모가 적은 이유로, 피삭제의 재료 강도가 보다 낮을 뿐만 아니라 가공에 수반하여 절삭열도 ADI재보다도 적기 때문에 흑연이 보다 윤활작용을 하고 있다고 유추된다.

또, 뚫은 구멍의 내면 상태에 대하여 조사한 절삭속도 6.1m/rev , 이송속도 0.1mm/rev 의 구멍가공 예를 Fig.9에 나타냈다. 그림에서 ADI재의 가공면이 비교적 평활인 것에 대해서, GCD600재의 편이 요철상태로 되었음을 알 수 있다.

Fig.10 ADI재와 GCD600재를 가공한 후 구멍 내부면의 표면거칠기와 이송 속도와의 관계를 표시했다. 모든 이송속도의 경우에서도 ADI재의 표면거칠기가 GCD600재보다 작게 나타났다.

3. 비관통 이송과 단계이송에 대한 비교

구멍 깊이가 깊어짐에 따라서 절삭저항이 증가 할 뿐만 아니라 열의 발생도 증가하며, 공구의 수명도 감소하게 된다. 또 한 기계도 무리한 힘을 받기 때문에 손상의 우려가 됨에 따라 단계이송(step feed)의 가공방법 필요성이 높아진다.

본 실험에서는 드릴링한 공작물의 구멍깊이가 15mm이기 때문에 5mm를 한 구간으로 하여 3단계 이송가공을 하였으며 Fig.11은 3단계 이송의 가공공정을 도시한 것이다. 공구는 기계좌표계 원점에서 위치 결정을 하고 난 후 직선보간을 하여 공구의 인선이 공작물과 5mm의 거리가 되면 절삭이송을 하도록 하였다. 일정 깊이까지 드릴가공한 후 드릴이 후퇴시에는 작업시간을 단축하기 위하여 급속 이송을 행하였다.

Fig.9의 (a)(b)는 ADI재와 GCD600재를 15mm의 구멍 깊이를 5mm마다 스텝핑(stepping)하면서 드릴링 했을 때의 토오크와 트러스트는 모두 단계이송시에 비관통절삭력 보다 증가하고 있음을 알수 있으며 증가율은 3~7% 정도이다.

大久保修^[13]에 의하면 단계이송에 의해서도 스러스트의 증감량은 명확한 차이를 보이지 않는다고 지적하였으나 본 실험의 범위에서는 트러스트도 토오크와 거의 비슷한 비율로 증가하였다.

그리고 Fig.12에 ADI재와 GCD600재의 비관통 절삭시와 단계이송 절삭시의 절삭력을 가공수에 따라 비교한 것을 나타냈다. ADI재에서는 73회째 부터 절삭력이 증가되어 가공이 불가능한 상태로 되었지만 단계 이송 절삭을 할때는 33회째에서부터 가공이 불가능한 상태로 전진되어졌다. 그러나 GCD600재는 비관통 절삭시나 단계이송 절삭 모두 180회 이상이었다. 이를 규명키 위해 비관통절삭한 ADI재의 가공후 구멍 선단부의 가공경화 상태를 조사하여 보았다. Fig.13은 ADI재 드릴가공후 구멍선단으로부터 깊이 방향의 경도분포를 측정했다. ADI재의 공구선단부의 경도는 480HV 정도를 나타내고, GCD600재는 Hv 320정도 경화되어 있었다.

ADI재의 경화의 정도는 GCD600재에 비하여 현저히 크다. 이것은 ADI재 중의 잔류오스테나이트량이 가공경화에 의하여 마르텐사이트로 변태하여 경화되고 있기 때문이라 생각된다.

이런 이유로 단계이송시 절삭력의 증가와 더불어 공구마모 역시 증가되어 가공회수가 감소되는 경향을 나타냈으며 ADI재는 단계이송절삭을 행하는 것은 적절치 못하다고 사료된다.

4. 결 론

피삭성이 매우 열악하고, 난삭재에 속하는 ADI재를 구멍가공 실험을 행하여 다음과 같은 결과를 얻었다.

- 1 보통 고속도강에서는 저속, 고이송의 조합가공조건이 고속, 저이송의 조합가공보다 절삭량, 공구마모면에서 유리하다.
- 2 GCD600재에 비하여, ADI재의 구멍가공을 한 드릴마모량이 큰 원인은 GCD600재의 가공에서는 흑연이 보다 좋은 윤활작용을 하고, 웅착현상을 억제하는 것으로 생각된다. 그러나 구멍내면의 표면 거칠기는 ADI재 것이 작다.
- 3 구멍가공시 ADI재료의 높은 경도와 잔류오스테나이트의 마르텐사이트화에 기인한 경도 상승으로 단계이송 절삭은 비관통 절삭시 보다 2배 정도의 가공 횟수가 줄어든 결과를 얻었다.

참고문헌

1. 이상조 : “드릴링 작업의 가공정밀도 개선에 대하여” 大韓機械學會誌, 第30卷 第1號(1990), PP.29~35
2. 백인환, 정우섭 : “미소경 드릴머신의 성능 개선과 미세 드릴 가공조건 설정에 관한 연구” 精密工學會春秋學術大會論文集(1944), PP.140~144.
3. 小野元久, 菅原章 : “微小經 ドリル加工に關する研究”, 精密工學會誌 58,(1992), PP.79~84.

4. D. F. Galloway : Some Experiments on the Influence of Various Factors on Drill Performance, Trans. of the ASME, Series B, Vol. 79 (1975) pp. 191~231.
5. 岩田一明・坂口明彦 : “高速微小ドリル深空加工の基礎的研究” 精密機械 49巻(1983), PP.98~104
6. John Dodd, "High Strength High Ductility Ductile Irons", Modern Casting 68, No.5, pp.60~66, 1978
7. Richard B. Gundlach and Jay F. Janowak, "Austempered Ductile Iron Combines Strength with Toughness and Ductility", Metal Progress, pp.19~26, 1985
8. 藤田武男・關谷克彦・北川亮三・小池範法・大城桂作, “ADI のドリル被削性(第1報), 熱処理および切削条件の影響”, 日本精密工学会秋季學術大會論文集, (1993), pp.361~362
9. 藤田武男・關谷克彦・北川亮三・小池範法・大城桂作, “ADI のドリル被削性(第2報), 黒鉛粒数の影響”, 日本精密工学会秋季學術大會論文集, (1993), pp.363~364
10. 小川誠・新井實・白神哲夫, “ADIのドリル加工”, 日本精密工学会秋季學術大會論文集, (1993), pp. 371~372
11. R. C. Voigt and R. Loper, JR., "Austempered Ductile Iron - Process Control and Quality Assurance" J. Heat Treating, Vol.3, No.4, pp.219~309, 1984
12. P. A. Blackmore and R. A. Harding, "The Effects of Metallurgical Process Variables on the Properties of Austempered Ductile Iron", J. Heat Treating, Vol. 3, No.4, pp. 310~325, 1984
13. 大久保修・清水哲: 微小径ドリルの折損原因の空明と折損機知に関する研究, 日本機械學會論文集(C編), 51巻, 471號 (1985)PP.43~59

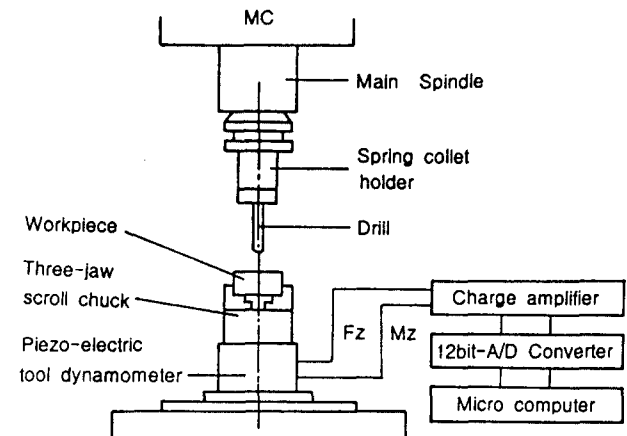


Fig.1 Schematic diagram of experiment

(▽▽)

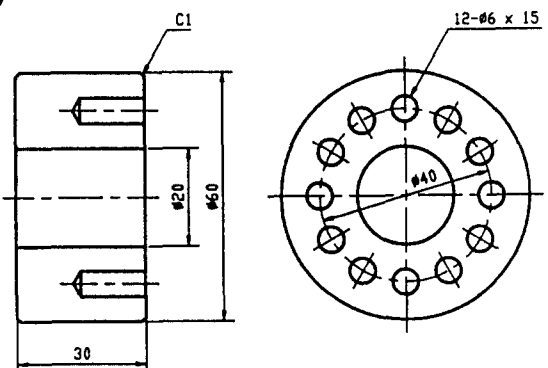


Fig.2 Shape and dimension of test specimen



Table 1 Chemical composition of workpiece (Wt. %)

C	Si	Mn	P	S	Cu	Mo	Ni	Mg
3.52	2.77	0.25	0.03	0.02	0.38	0.23	1.39	0.05

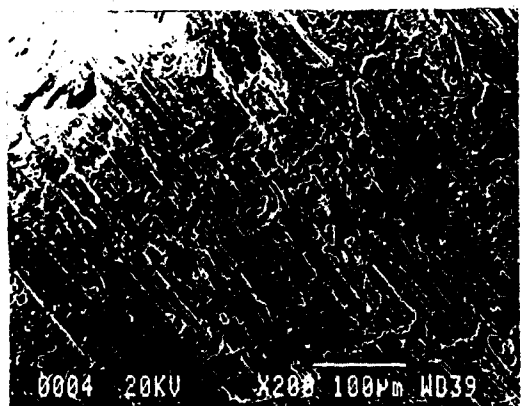
Table 2 Mechanical properties and volume fraction of workpiece(ADI)

Structure (%)	Holding time(120 min)	Tensile strength(Kg/mm ²)	Elongation (%)	Hardness (HV)
Martensite (%)	2.4			
Bainite (%)	78.6	125	4.9	408
Retained austenite content (%)	19			

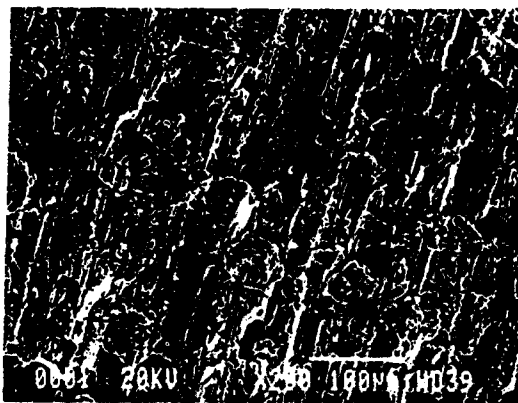
Table 3 Shape and dimensions of drill in used

Workpiece	GCD600 , ADI
Drill	HSS, HSS-Co, HSS+TiN
Drill shape	Ø6mm×70×102 Twiss drill
Cutting speed	6.1, 7.8, 10.3 (m/min)
Feed rate	0.05, 0.08, 0.1, 0.15 (mm/rev)
Depth of cut	15mm
Coolant	dry

Fig.3 Microstructure of GCD600 ADI



$v=10.3\text{m/min}$ $f=0.05\text{mm/rev}$



$v=6.1\text{m/min}$ $f=0.15\text{mm/rev}$

Fig.4 Micrographs od chip and tool wear when drilling ADI with HSS drill at different cutting conditions

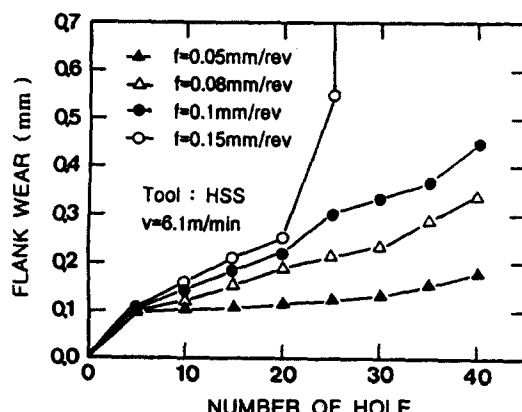


Fig. 5 Effect of feed rate on tool wear when drilling ADI with HSS drill

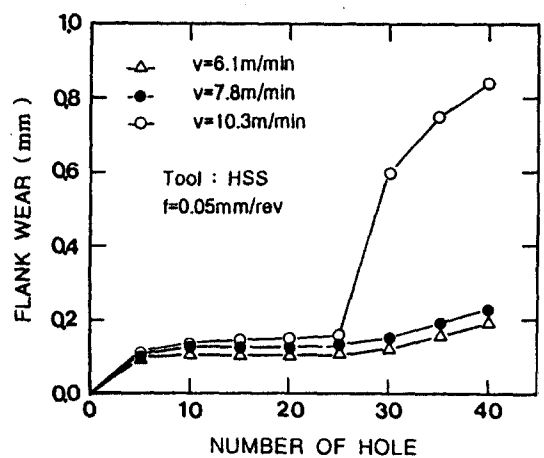
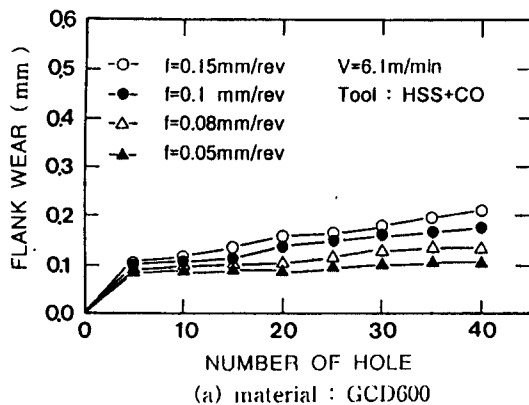
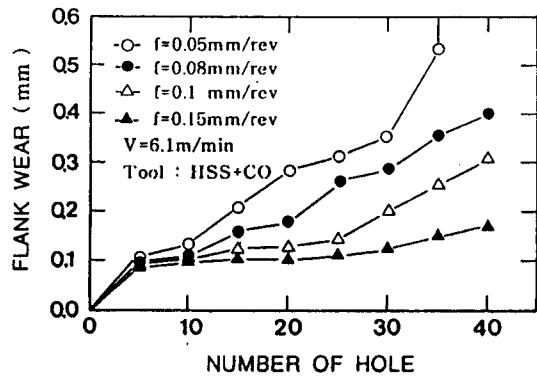


Fig.6 Effect of cutting speed on tool wear when drilling ADI with HSS drill



(a) material : GCD600



(b) material : ADI

Fig.7 Comparison of tool wear in drilling ADI and GCD600 with cobalt contain HSS Drill

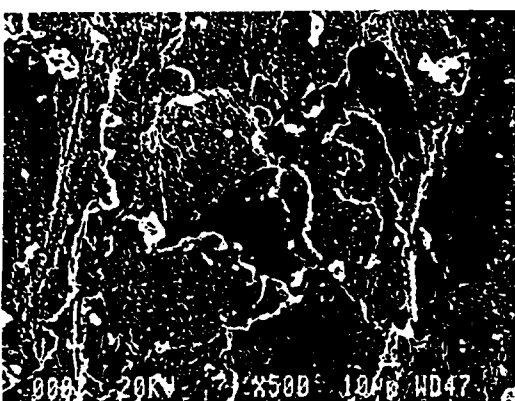
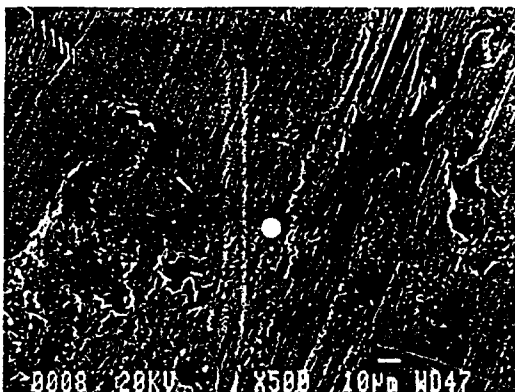
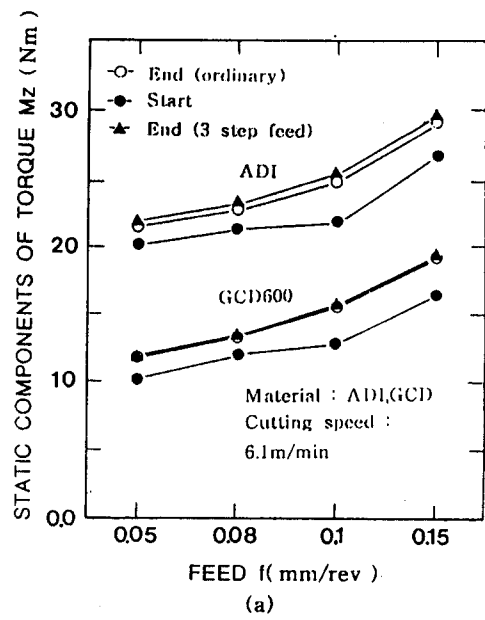
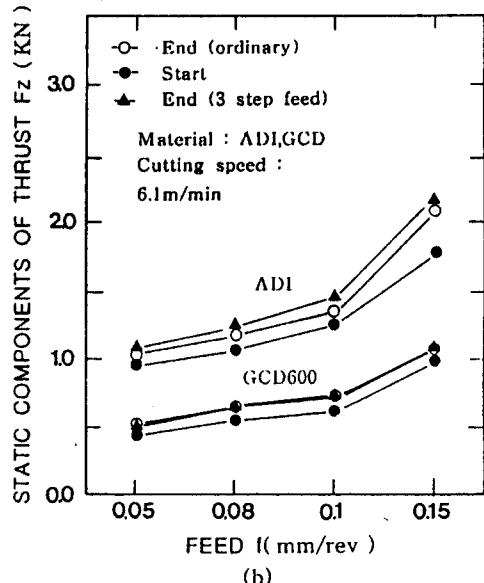


Fig.9 Micrographs of the drilling hole surface in drilling ADI and GCD600



(a)



(b)

Fig.8 Comparison of torque and thrust for ordinary and 3 step feed drilling

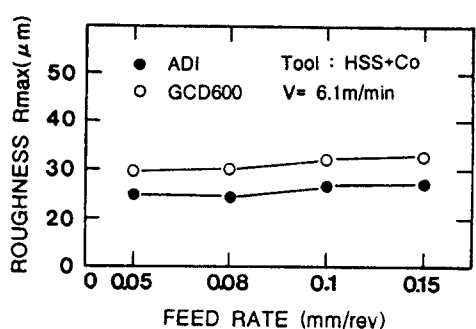


Fig.10 Comparison of the drilling hole surface roughness in drilling ADI and GCD600

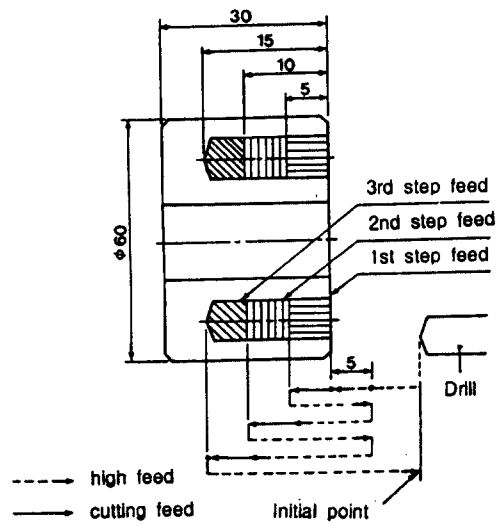


Fig.11 Process of 3 step feed drilling

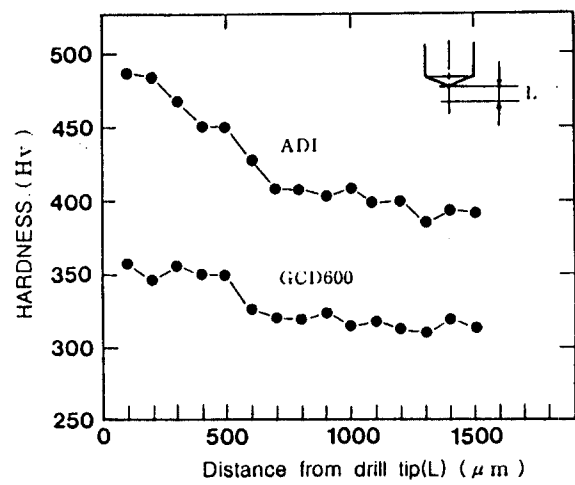


Fig.13 Hardness Variation from drill tip after drilling

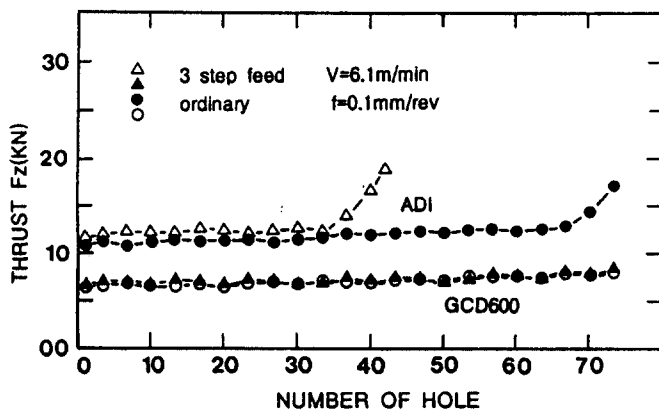


Fig.12 Comparison of tool life for ordinary and 3 step feed drilling

정밀 기기 직종 과제 해설(기계분과)

정 영 민 국립 부산 기계 공업 고등 학교

1. 직종명 : 정밀 기기

2. 직종의 정의

정밀 기기란 선반, 밀링머신, 연삭기, 드릴링머신등의 범용공작기계와 줄, 펩, 다이스, 드릴, 바이스등의 수공구 및 블록 게이지, 인디게이터, 마이크로미터등의 측정공구를 사용하여 지급된 재료를 도면에 명시된 치수 및 형상대로 가공한 후 볼트나 핀 등으로 조립하여 용도 및 요구하는 기능을 만족시키는 치공구 및 측정공구를 제작하는 기능연마를 위한 기계분과의 종합 직종이다.

3. 과제의 개요

1) 과제명 : 금형 지그

2) 제작시간 : 21 시간

3) 부품 수 : 25종 31부품

4) 과제기능 : $t = 0.5 \times 6 \times 27.5$ 구리판을 부품(3)번의 홈에 끼운 후 부품(16)번을 회전시켜 부분밴딩을 시킨 후 손잡이(37)번을 좌, 우로 회전시켜 부품(20)번과 같은 치수 및 형상으로 밴딩하는 기능이다

4. 가공방법

1) 지급된 사각재료의 육면을 밀링메이스커터로 도면에 명시한 외곽치수의 $+0.1 \sim +0.2mm$ 정도 여유를 주어 일괄적으로 가공한다

2) 구멍위치, 밀링작업부분 및 모든가공부분에 하이트게이지를 사용하여 금근기를 한후 센터핀팅 작업을 한다..

3) 일괄적으로 버너어웨리파스를 이용하여 치수, 위치를 확인후 드릴링머신인 및 바이스를 이용하여 일반적인 구멍, 카운터싱킹, 카운터보링, 태평 작업후 황삭엔드밀을 사용하여 일괄적으로 따내기 작업을 한다

4) 부품(1)번의 $14, 0 \sim +0.02, 6, 0 \sim +0.03$ 의 치수를 정삭용엔드밀을 사용하여 가공한 후 블록게이지로 확인한 후 폴라이커터로 외곽치수를 맞춘다.(외곽작업시 대칭 및 변형에 주의하여 작업한다.)

5) 부품(2)번의 $\phi 10H7$ 은 에지포인트를 이용하여 위치를 맞춘후 리밍 작업을 한다. 그리고 $30, 0 \sim +0.03, 16, 0 \sim +0.05$ 의 치수를 부품(1)번과 같은 방법으로 가공한다.(리밍 작업후 폴리거게이지로 확인후 다음작업으로 들어간다.)

6) 부품(3)번의 (R5)부분은 2날 엔드밀을 사용하여 리밍 작업과 같은 방법으로 가공한다. 그리고 $20, 0 \sim +0.02, 8, 0 \sim +0.05$ 와 모든 치수를 부품(1)번과 같은 방법으로 가공한다.((R5)가공시 2날 엔드밀 작업시 기존의 엔드밀 속도인 750 Rpm으로 하면 멀림이 생김으로 리밍 속도인 300 Rpm으로 이송을 천천히 한다)

7) 부품(4)번의 $40 \pm 0.1, 5, 0 \sim +0.1$ 의 일반치수를 먼저 가공한후 $30, 0 \sim -0.03, 20, -0.02 \sim -0.04$ 의 치수를 부품(1)번과 같은 방법으로 가공한다.(30, 0 ~ -0.03가공시 멀림이 생김으로 공작물을 바이스에 정확하게 물려서 가공한다.)

8) 부품(5)번의 $14h7, 6, 0 \sim -0.02$ 의 치수를 폴라이커터를 사용하여 마이크로미터 및 인디게이터로 확인하면서 가공한다.

9) 부품(6)번의 $30, 0 \sim -0.03, 20, 0 \sim -0.02$ 의 치수를 부품(1)번과 같은 방법으로 가공한 후 밀링바이스를 (45°)로 돌려 맞추어 5 ± 0.05 의 치수를 가공한다.

10) 부품(7)번의 14 ± 0.02 의 치수를 부품(1)번과 같은 방법으로 가공한다. (45°)의 둘째부분 가공시 V-블록을 사용하여 가공한다. 엔드밀 가공시 14 ± 0.02 와 교차부분을 파먹지 않도록 주의하여 가공한다)

11) 부품(8)은 망치와 바이스를 사용하여 밴딩작업한후 R6, 12홀을 가공하고 외곽치수를 맞춘다.)

12) 부품(9),(10),(11),(12),(13),(14),(15),(16),(17)번은 선반기계가공법에 준하여 가공한다. 각 부품의 다이스, 태평, 구멍, 리밍작업은 치구를 심압대에 고정하여 선반에서 직접작업을 한다. 부품(10), (11)번의 부채꼴 형상 가공시 핀을 이용하여 바이스에 고정한후 조금씩 돌려가며 앤드밀로 가공한다.(부품(13),(15)의 편심작업후 절단시 멀림이 발생하므로 속도 및 이송을 반으로 줄여서 바이트의 파손에 주의한다.)

13) 가공후 남은 모든부품의 조립작업을 위해 드릴작업부위에 하이트게이지로 금근기 및 센터핀팅 작업을 한후 드릴링 머시인 및 바이스를 이용하여 카운터싱킹, 카운터보링, 태평, 리밍을 한다.

14) 세척유로 철식유 및 침을 깨끗이 제거한 후 조립용 수공구를 사용하여 순서대로 조립한다(조립시도면이 명시한 형상대로 조립되었는지를 확인한다)

15) 제품(20)을 사용하여 요구사항에 만족하는지를 확인한 후 최종적으로 맞춤핀 작업을 한다. (맞춤핀 작업후 분해하여 꾸히 카운터싱킹작업후 재조립을 한다)

16) 제품이 완성되면 약간의 방청유 분사후 형皎에 싸서 심사위원에게 제출한다.

5. 사용 재료

순번	품명	제질	규격	수량	비고
1	밀판	SM20C	51×102×13	1	지급품
2	우측홀더	SM20C	51×26×27	1	지급품
3	좌측홀더	SM20C	51×17×27	1	지급품
4	지지판	SM20C	31×9×92	1	지급품
5	지지판	SM20C	51×7×15	1	지급품
6	외측슬라이더	SM20C	31×55×4	1	지급품
7	스토퍼	SM20C	15×19×9	1	지급품
8	각판	SM20C	t2.5×36×25	1	지급품
9	이송나사	SM20C	Φ15×70	1	지급품
10	회전판	SM20C	Φ30×20	1	지급품
11	밴딩축	SM20C	Φ25×75	1	지급품
12	체결나사축	SM20C	Φ20×45	1	지급품
13	편심링	SM20C	Φ20	1	부품 11과 같은 재료사용
14	연결핀	SM20C	Φ15	1	부품 9와 같은 재료사용
15	롤러	황동	Φ20×25	1	지급품
16	안내 지지대	경질알루미늄	Φ25×40	1	지급품
17	핸들	황동	Φ8×70	1	지급품
18	스프링	피아노선	Φ0.5×300	2	지급품
19	스프링	피아노선	Φ0.5×300	1	지급품
20	밴딩판	Cu(구리)	t0.5×6×27.5	1	지급품
21	둥근머리볼트		M4×16	4	지급품
22	둥근머리볼트		M4×6	2	지급품
23	둥근머리볼트		M3×20	2	지급품
24	둥근머리볼트		M5×8	1	지급품
25	고정볼트		Φ20×35	1	도면참조 제작
26	접시머리볼트		M5×10	1	지침
27	접시머리볼트		M3×6	2	지침
28	핀볼트		M5×17	4	지침
29	셋트스크류		M4×5	1	지침
30~ 38	볼트 및 맞춤핀	SM20C		12	개인지침품

6. 사용공구

순번	공구명	규격 및 치수	단위	수량	비고
1	밀링작업공구	보조볼터 등	SET	1	
2	엔드밀	Φ4, Φ5, Φ10, Φ8, Φ12, Φ16, Φ20	SET	1	
3	선반바이트	철단, 외경, 흡	SET	1	기타선반 작업공구
4	선반바이트(흡)	폭 1.5mm가공용	개	1	공구포함
5	드릴셋트	Φ2.5~Φ12	SET	1	
6	카운터보어	M4, Φ4.5×Φ8	개	1	
7	카운터보어	M5, Φ5.5×Φ10	개	1	
8	다이스	M5, M8	개	각1	
9	랩	M3, M4, M5, M8	개	각1	
10	리이머	Φ3H7, Φ4H7	개	각1	
11	리이머	Φ5H7, Φ6H7	개	각1	
12	리이머	Φ8H7, Φ10H7	개	각1	
13	각종줄	화, 중, 세목	SET	1	
14	각종조립용 공구	핀펀치 SET등	SET	1	
15	블록제이지	47종 이상	SET	1	
16	하이트제이지	200mm이상	개	1	
17	테스트이다제이터	0.01mm	개	1	
18	버어나어캘리퍼스	150mm	개	1	
19	マイ크로미터(외측)	0~25mm, 25~50mm	개	각1	
20	내측마이크로미터	5~30mm, 25~50mm	개	각1	
21	직각자	50×75mm이상	개	각1	
22	풀러그제이지	Φ3H7, Φ4H7	개	각1	
23	풀러그제이지	Φ5H7, Φ6H7	개	각1	
24	풀러그제이지	Φ8H7, Φ10H7	개	각1	
25	정반	300×450	개	1	
26	공차표			1	

7. 평가방법

(1) 주요치수

품번	NO	내용	공차	판정	점수	득점
1	1	홀폭	14 0±0.02		10	
	2	홀두께	6 0±0.03		10	
	3	구멍*4	Φ4H7		40	
2	4	홀폭	30 0±0.03		10	
	5	홀두께	16 0±0.03		10	
	6	구멍	Φ10H7		10	
	7	구멍*2	Φ4H7		20	
3	8	홀폭	20 0±0.02		10	
	9	홀두께	8 0±0.05		10	
	10	구멍*2	Φ4H7		20	
	11	대칭도*2	0±0.02		40	
4	12	폭	20		10	
	13	폭	30 0±0.03		10	
	14	구멍×2	Φ5H7		20	
	15	대칭도×2	8 0~0.05		10	
5	16	폭	14H7		10	
	17	두께	6 0±0.02		10	
	18	구멍	Φ5H7		10	
6	19	폭	20 0~0.02		10	
	20	폭	30 0~0.03		10	
	21	홀 폭	5 0~0.050		10	
7	22	폭×2	14 0±0.02		20	
9	23	외경	Φ10H7		10	
	24	외경	Φ10H7		10	
11	25	외경	20H7		10	
	26	외경	9		10	
	27	외경	4H7		10	
12	28	외경	17H7		10	
	29	외경	8H7		10	
	30	외경	Φ22H7		10	
	72		0±0.03		10	
14	33	외경	Φ9H7		10	
	34	외경	Φ5H6		10	
16	35	구멍	Φ6H7		10	
17	36	외경	Φ6H7		10	
배 점		46		460		

(2) 일반치수

품번	NO	내용	공차	판정	점수	특정
1	1	100, 50, 12, 26	±0.1		40	
2	2	25, 25, 50	±0.1		30	
3	3	50, 25, 16, 8	±0.1		40	
4	4	90, 19, 30, 5, 5, 40	±0.1		60	
5	5	50	±0.1		10	
6	6	53, 25, 12, 20, 13, 3	±0.1		60	
7	7	4, 8	±0.1		20	
8	8	34, 9, 14, 2	±0.1		40	
9	9	28, 9, 2, 7	±0.1		30	
10	10	6, 13, 9	±0.1		30	
11	11	30, 5	±0.1		20	
12	12	25, 19, Φ4	±0.1		30	
14	13	15.5, 7.5	±0.1		20	
15	14	Φ15, 6	±0.1		20	
16	15	Φ20, 25, Φ13	±0.1		30	
17	16	50	±0.1		10	
25	17	Φ14, Φ8, 15.5	±0.1		30	
배 점		23		520		

(3) 조립 및 기능도

번호	측정항목	배점	득점	비고
1	도면대로의 가공조립여부	40		
2	부품16을 회전시켰을 때 부품4 및 5의 원활한 작동상태	80		
3	부품20의 소재를 부품3의 중심부에 넣고 부품16과 11을 회전시켜 굽힘작업 하였을 때 제품의 경밀도상태 및 굽힘상태 양호도	120		
배 점 : 12				총 점 : 240

(4) 외관 및 조립상태

번호	측정항목	배점	득점	비고
1	각 부품의 직각도, 진직도, 평면도 가공상태	40		
2	부품 10, 11의 각도 및 R가공상태	30		
3	드릴링 및 랩핑 가공상태	30		
4	외곽 일치 상태	30		
5	볼트 조임상태	10		
6	맞춤핀 조립상태	10		
7	모파기 가공상태	20		
8	선반 가공상태	40		
9	밀링가공상태	20		
배 점 : 10				230

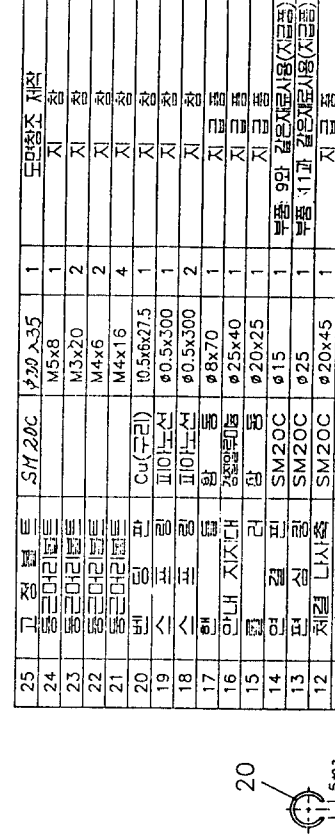
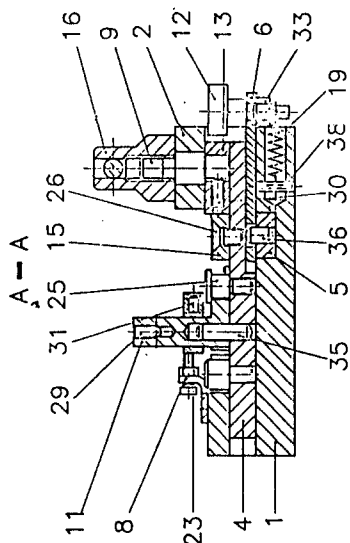
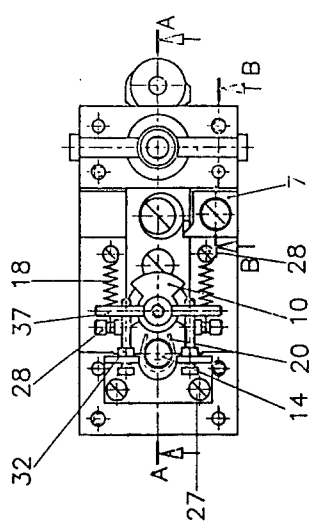
(5) 총평가

번호	내용	배점	비고
1	주요치수	46	
2	일반치수	23	
3	조립 및 기능도	12	
4	외관 및 조립상태	10	
5	시간, 재료교환	9	
총계		100	

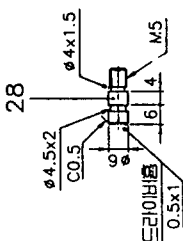
NOTE

- 지지도지 않은 일반 모터기는 Ø0.20mm로 한다.
- 일반치수 공차는 $\pm 0.1\text{mm}$ 로 한다.
- 부품 3의 기공은 일정으로 완성 가공한다.
(도면기 부분은 출기공 가능함)
- 일정 완성 지점이 없는 부품은 출기공 가능함
- 도면에 나타난 조립도 상태로 조립하여야 한다.
- 부품 16을 회전시켜 부품4와 5가 원활히 작동되어야 한다.
부품 3 사이에서 부울 11을 이동하여
제작도면 20번과 같은 제품이 변동되어야 한다.

B-B



제작도면	제작자	한국산업도록관련공단		국제기능경기대회	전국기능경기대회	종합기기작전	국기기전	국회한국원회	국제기능경기대회	국제기능경기대회	국제기능경기대회
		구조설명	구조설명								
NS	21HR	금형지그	금형지그	N.S	21HR	금형지그	금형지그	금형지그	금형지그	금형지그	금형지그
제작도면	제작자	제작자	제작자	제작자	제작자	제작자	제작자	제작자	제작자	제작자	제작자

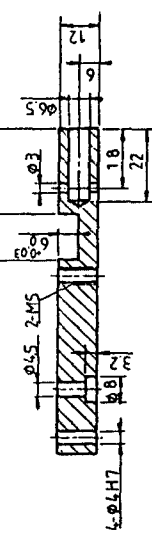
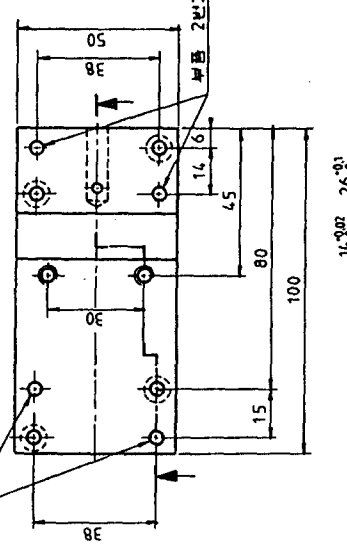


① $\nabla Rz 16$

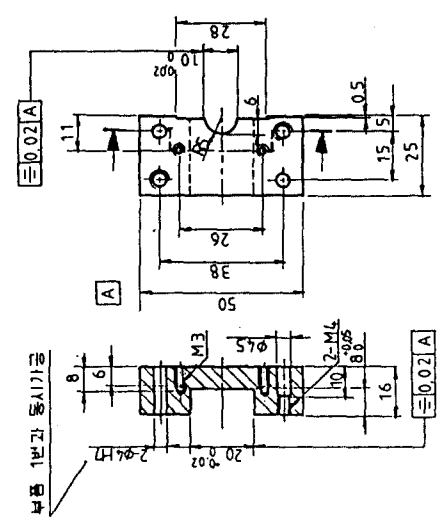
加工
粗め加工
粗め仕上げ

② $\nabla Rz 16$

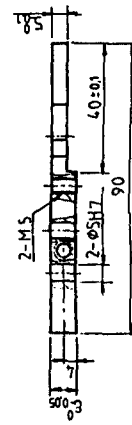
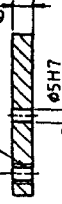
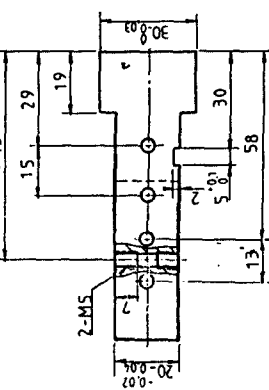
仕上
仕上仕上げ



③ $\nabla Rz 16$



④ $\nabla Rz 16$



⑤ $\nabla Rz 16$

